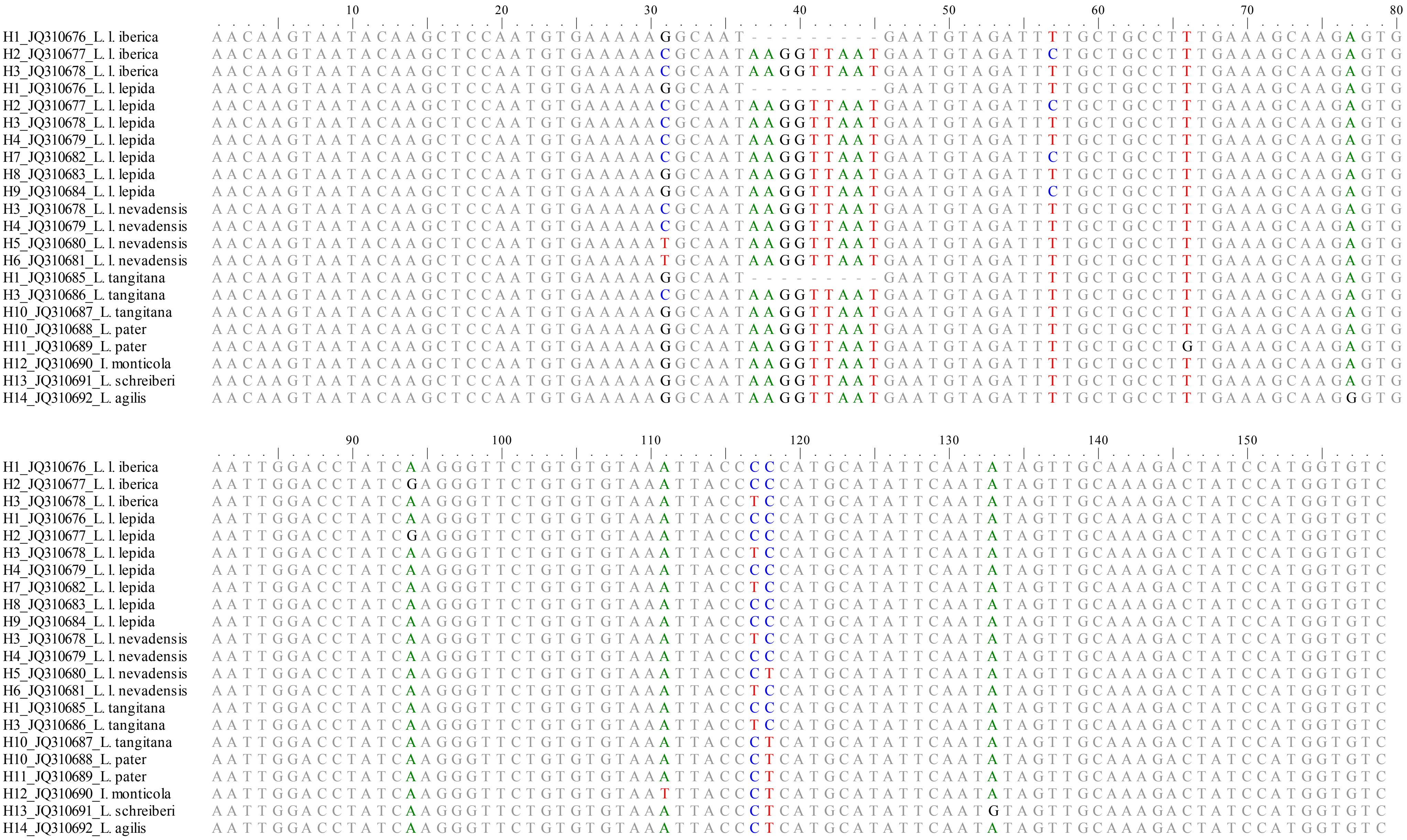

```
                                      10        20        30        40        50        60        70        80
H1_JQ310676_L. l. iberica     AACAAGTAATACAAGCTCCAATGTGAAAAAGGCAAT---------GAATGTAGATTTTGCTGCCTTTGAAAGCAAGAGTG
H2_JQ310677_L. l. iberica     AACAAGTAATACAAGCTCCAATGTGAAAAACGCAATAAGGTTAATGAATGTAGATTCTGCTGCCTTTGAAAGCAAGAGTG
H3_JQ310678_L. l. iberica     AACAAGTAATACAAGCTCCAATGTGAAAAACGCAATAAGGTTAATGAATGTAGATTTTGCTGCCTTTGAAAGCAAGAGTG
H1_JQ310676_L. l. lepida      AACAAGTAATACAAGCTCCAATGTGAAAAAGGCAAT---------GAATGTAGATTTTGCTGCCTTTGAAAGCAAGAGTG
H2_JQ310677_L. l. lepida      AACAAGTAATACAAGCTCCAATGTGAAAAACGCAATAAGGTTAATGAATGTAGATTCTGCTGCCTTTGAAAGCAAGAGTG
H3_JQ310678_L. l. lepida      AACAAGTAATACAAGCTCCAATGTGAAAAACGCAATAAGGTTAATGAATGTAGATTTTGCTGCCTTTGAAAGCAAGAGTG
H4_JQ310679_L. l. lepida      AACAAGTAATACAAGCTCCAATGTGAAAAACGCAATAAGGTTAATGAATGTAGATTTTGCTGCCTTTGAAAGCAAGAGTG
H7_JQ310682_L. l. lepida      AACAAGTAATACAAGCTCCAATGTGAAAAACGCAATAAGGTTAATGAATGTAGATTCTGCTGCCTTTGAAAGCAAGAGTG
H8_JQ310683_L. l. lepida      AACAAGTAATACAAGCTCCAATGTGAAAAAGGCAATAAGGTTAATGAATGTAGATTTTGCTGCCTTTGAAAGCAAGAGTG
H9_JQ310684_L. l. lepida      AACAAGTAATACAAGCTCCAATGTGAAAAAGGCAATAAGGTTAATGAATGTAGATTCTGCTGCCTTTGAAAGCAAGAGTG
H3_JQ310678_L. l. nevadensis  AACAAGTAATACAAGCTCCAATGTGAAAAACGCAATAAGGTTAATGAATGTAGATTTTGCTGCCTTTGAAAGCAAGAGTG
H4_JQ310679_L. l. nevadensis  AACAAGTAATACAAGCTCCAATGTGAAAAACGCAATAAGGTTAATGAATGTAGATTTTGCTGCCTTTGAAAGCAAGAGTG
H5_JQ310680_L. l. nevadensis  AACAAGTAATACAAGCTCCAATGTGAAAAATGCAATAAGGTTAATGAATGTAGATTTTGCTGCCTTTGAAAGCAAGAGTG
H6_JQ310681_L. l. nevadensis  AACAAGTAATACAAGCTCCAATGTGAAAAATGCAATAAGGTTAATGAATGTAGATTTTGCTGCCTTTGAAAGCAAGAGTG
H1_JQ310685_L. tangitana      AACAAGTAATACAAGCTCCAATGTGAAAAAGGCAAT---------GAATGTAGATTTTGCTGCCTTTGAAAGCAAGAGTG
H3_JQ310686_L. tangitana      AACAAGTAATACAAGCTCCAATGTGAAAAACGCAATAAGGTTAATGAATGTAGATTTTGCTGCCTTTGAAAGCAAGAGTG
H10_JQ310687_L. tangitana     AACAAGTAATACAAGCTCCAATGTGAAAAAGGCAATAAGGTTAATGAATGTAGATTTTGCTGCCTTTGAAAGCAAGAGTG
H10_JQ310688_L. pater         AACAAGTAATACAAGCTCCAATGTGAAAAAGGCAATAAGGTTAATGAATGTAGATTTTGCTGCCTTTGAAAGCAAGAGTG
H11_JQ310689_L. pater         AACAAGTAATACAAGCTCCAATGTGAAAAAGGCAATAAGGTTAATGAATGTAGATTTTGCTGCCTGTGAAAGCAAGAGTG
H12_JQ310690_I. monticola     AACAAGTAATACAAGCTCCAATGTGAAAAAGGCAATAAGGTTAATGAATGTAGATTTTGCTGCCTTTGAAAGCAAGAGTG
H13_JQ310691_L. schreiberi    AACAAGTAATACAAGCTCCAATGTGAAAAAGGCAATAAGGTTAATGAATGTAGATTTTGCTGCCTTTGAAAGCAAGAGTG
H14_JQ310692_L. agilis        AACAAGTAATACAAGCTCCAATGTGAAAAAGGCAATAAGGTTAATGAATGTAGATTTTGCTGCCTTTGAAAGCAAGGGTG

                                      90       100       110       120       130       140       150
H1_JQ310676_L. l. iberica     AATTGGACCTATCAAGGGTTCTGTGTGTAAATTACCCCCATGCATATTCAATATAGTTGCAAAGACTATCCATGGTGTC
H2_JQ310677_L. l. iberica     AATTGGACCTATCGAGGGTTCTGTGTGTAAATTACCCCCATGCATATTCAATATAGTTGCAAAGACTATCCATGGTGTC
H3_JQ310678_L. l. iberica     AATTGGACCTATCAAGGGTTCTGTGTGTAAATTACCTCCATGCATATTCAATATAGTTGCAAAGACTATCCATGGTGTC
H1_JQ310676_L. l. lepida      AATTGGACCTATCAAGGGTTCTGTGTGTAAATTACCCCCATGCATATTCAATATAGTTGCAAAGACTATCCATGGTGTC
H2_JQ310677_L. l. lepida      AATTGGACCTATCGAGGGTTCTGTGTGTAAATTACCCCCATGCATATTCAATATAGTTGCAAAGACTATCCATGGTGTC
H3_JQ310678_L. l. lepida      AATTGGACCTATCAAGGGTTCTGTGTGTAAATTACCTCCATGCATATTCAATATAGTTGCAAAGACTATCCATGGTGTC
H4_JQ310679_L. l. lepida      AATTGGACCTATCAAGGGTTCTGTGTGTAAATTACCCCCATGCATATTCAATATAGTTGCAAAGACTATCCATGGTGTC
H7_JQ310682_L. l. lepida      AATTGGACCTATCAAGGGTTCTGTGTGTAAATTACCTCCATGCATATTCAATATAGTTGCAAAGACTATCCATGGTGTC
H8_JQ310683_L. l. lepida      AATTGGACCTATCAAGGGTTCTGTGTGTAAATTACCCCCATGCATATTCAATATAGTTGCAAAGACTATCCATGGTGTC
H9_JQ310684_L. l. lepida      AATTGGACCTATCAAGGGTTCTGTGTGTAAATTACCCCCATGCATATTCAATATAGTTGCAAAGACTATCCATGGTGTC
H3_JQ310678_L. l. nevadensis  AATTGGACCTATCAAGGGTTCTGTGTGTAAATTACCTCCATGCATATTCAATATAGTTGCAAAGACTATCCATGGTGTC
H4_JQ310679_L. l. nevadensis  AATTGGACCTATCAAGGGTTCTGTGTGTAAATTACCCCCATGCATATTCAATATAGTTGCAAAGACTATCCATGGTGTC
H5_JQ310680_L. l. nevadensis  AATTGGACCTATCAAGGGTTCTGTGTGTAAATTACCCTCATGCATATTCAATATAGTTGCAAAGACTATCCATGGTGTC
H6_JQ310681_L. l. nevadensis  AATTGGACCTATCAAGGGTTCTGTGTGTAAATTACCTCCATGCATATTCAATATAGTTGCAAAGACTATCCATGGTGTC
H1_JQ310685_L. tangitana      AATTGGACCTATCAAGGGTTCTGTGTGTAAATTACCCCCATGCATATTCAATATAGTTGCAAAGACTATCCATGGTGTC
H3_JQ310686_L. tangitana      AATTGGACCTATCAAGGGTTCTGTGTGTAAATTACCTCCATGCATATTCAATATAGTTGCAAAGACTATCCATGGTGTC
H10_JQ310687_L. tangitana     AATTGGACCTATCAAGGGTTCTGTGTGTAAATTACCCTCATGCATATTCAATATAGTTGCAAAGACTATCCATGGTGTC
H10_JQ310688_L. pater         AATTGGACCTATCAAGGGTTCTGTGTGTAAATTACCCTCATGCATATTCAATATAGTTGCAAAGACTATCCATGGTGTC
H11_JQ310689_L. pater         AATTGGACCTATCAAGGGTTCTGTGTGTAAATTACCCTCATGCATATTCAATATAGTTGCAAAGACTATCCATGGTGTC
H12_JQ310690_I. monticola     AATTGGACCTATCAAGGGTTCTGTGTGTAATTTACCCTCATGCATATTCAATATAGTTGCAAAGACTATCCATGGTGTC
H13_JQ310691_L. schreiberi    AATTGGACCTATCAAGGGTTCTGTGTGTAAATTACCCTCATGCATATTCAATGTAGTTGCAAAGACTATCCATGGTGTC
H14_JQ310692_L. agilis        AATTGGACCTATCAAGGGTTCTGTGTGTAAATTACCCTCATGCATATTCAATATAGTTGCAAAGACTATCCATGGTGTC
```

Figure S2 Sequence alignment from haplotypes (H1-H14) detected in locus *mk75* in each lizard species or subspecies. The accession number corresponding to each haplotype is indicated. Conserved bases are presented in grey while variable sites are highlighted with colored font. Dashes denote gaps.